

数字信号处理

任课教师：许录平 余航

单位：空间科学与技术学院

Email: hyu@xidian.edu.cn



第5章 时域离散系统的网络结构

5.1 引言

5.2 用信号流图表示网络结构

5.3 IIR系统基本网络结构

5.4 FIR系统基本网络结构

5.5 线性相位结构

5.6 频率采样结构

5.1 引言

时域离散系统（网络）描述形式：

差分方程、单位脉冲响应、系统函数

如果系统输入输出服从N阶差分方程

$$y(n) = \sum_{i=0}^M b_i x(n-i) - \sum_{i=1}^N a_i y(n-i)$$

则系统函数 $H(z)$ 为

$$H(z) = \frac{Y(z)}{X(z)} = \frac{\sum_{i=0}^M b_i z^{-i}}{1 + \sum_{i=1}^N a_i z^{-i}}$$

单位脉冲响应 $h(n)$ ：

$$h(n) = IZT[H(z)]$$



给定一个系统函数，有多种不同的算法：

$$H_1(z) = \frac{1}{1 - 0.8z^{-1} + 0.15z^{-2}}$$
$$H_2(z) = \frac{-1.5}{1 - 0.3z^{-1}} + \frac{2.5}{1 - 0.5z^{-1}}$$
$$H_3(z) = \frac{1}{1 - 0.3z^{-1}} \cdot \frac{1}{1 - 0.5z^{-1}}$$

研究算法的意义在于不同的算法直接影响系统的：

运算误差、运算速度、系统的复杂程度和成本

用网络结构表示具体的算法，网络结构就是运算结构



第5章 时域离散系统的网络结构

5.1 引言

5.2 用信号流图表示网络结构

5.3 IIR系统基本网络结构

5.4 FIR系统基本网络结构

5.5 线性相位结构

5.6 频率采样结构



5.2 用信号流图表示网络结构

$$y(n) = \sum_{i=0}^M b_i x(n-i) - \sum_{i=1}^N a_i y(n-i)$$

数字信号处理中有三种基本算法：

乘法、加法、单位延迟

网络结构两种表示方法：

运算框图法、信号流图法

两种表示方法等效，只是符号上有差异

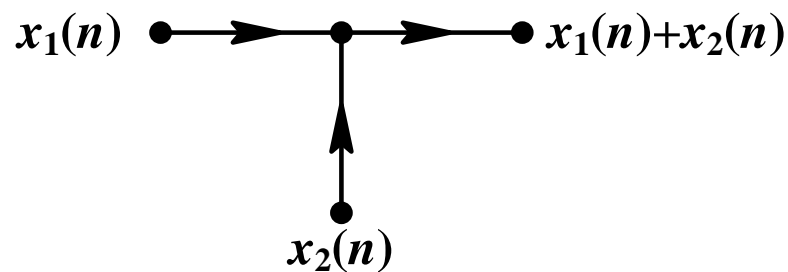
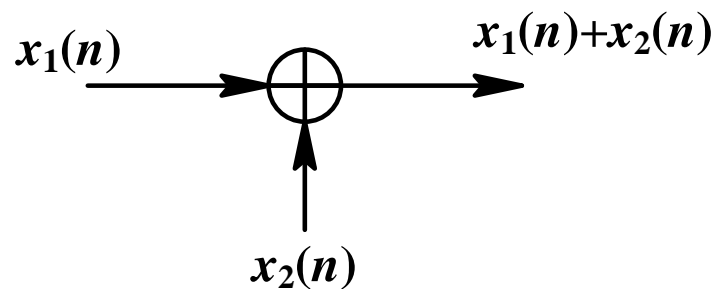
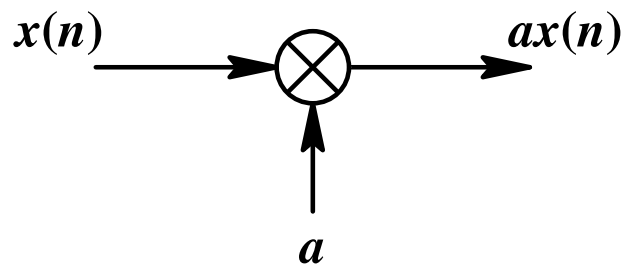
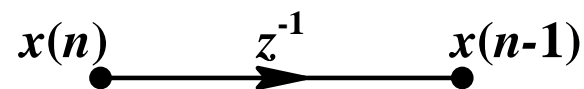
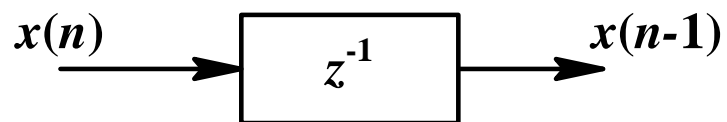
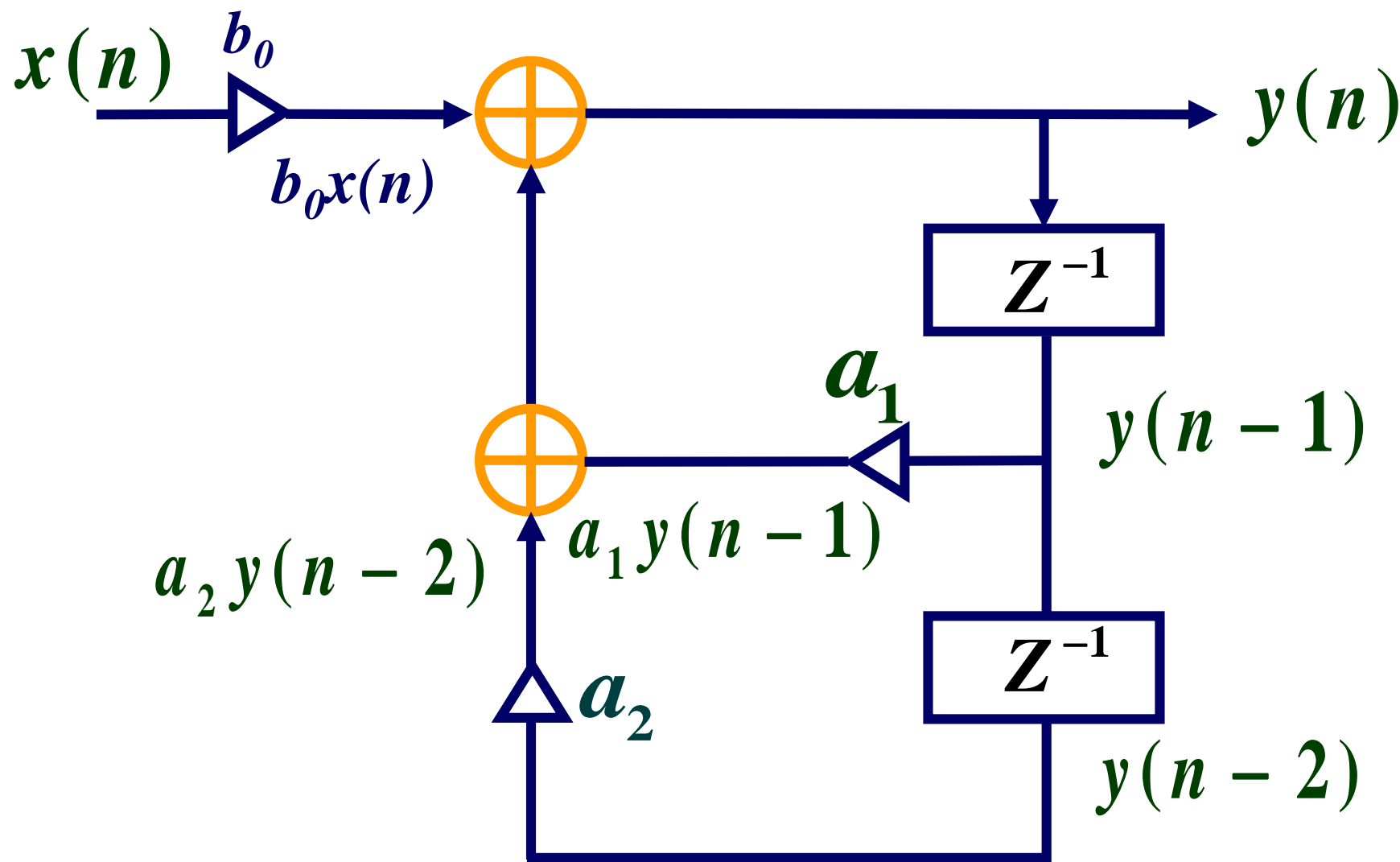
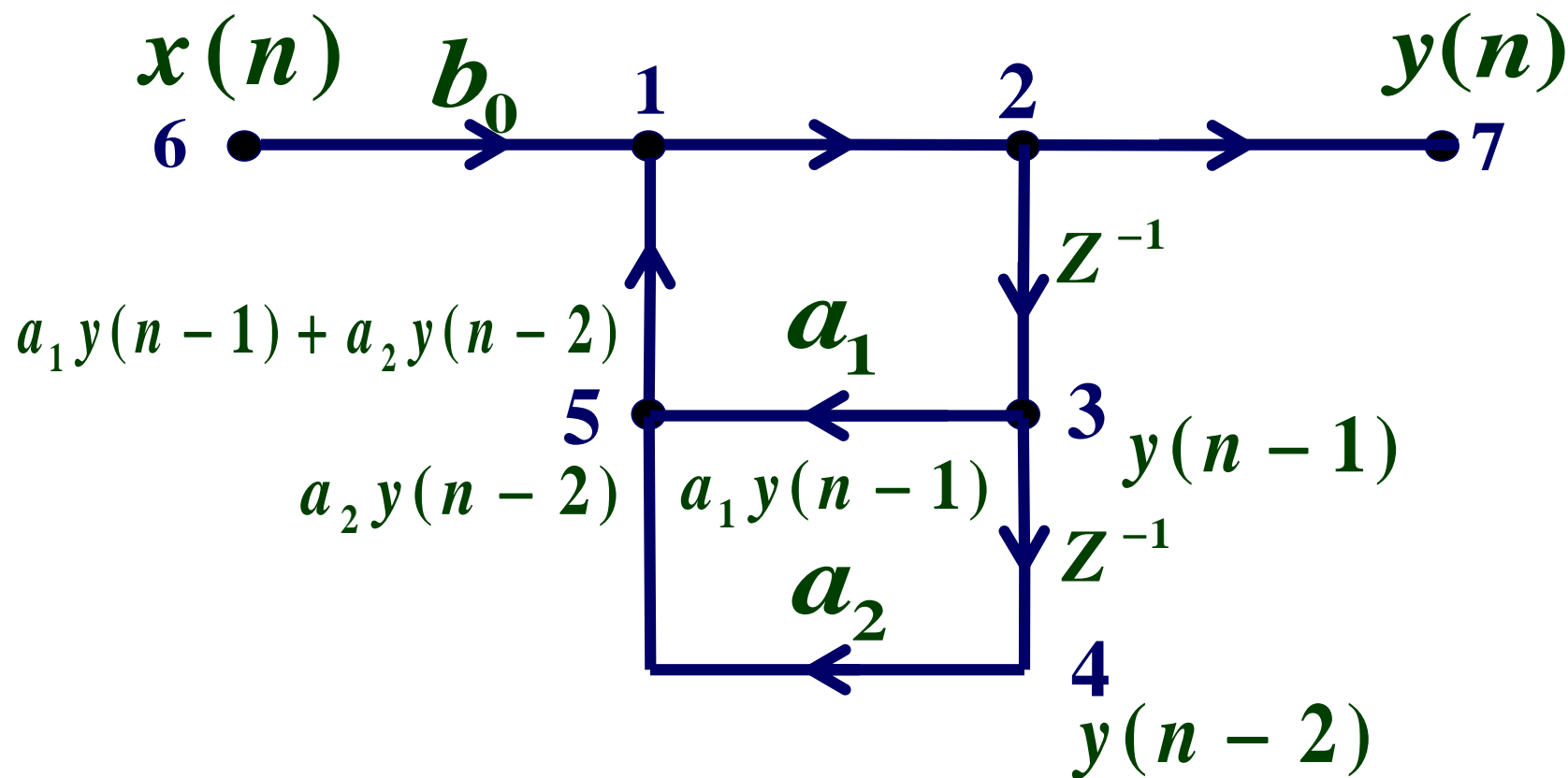


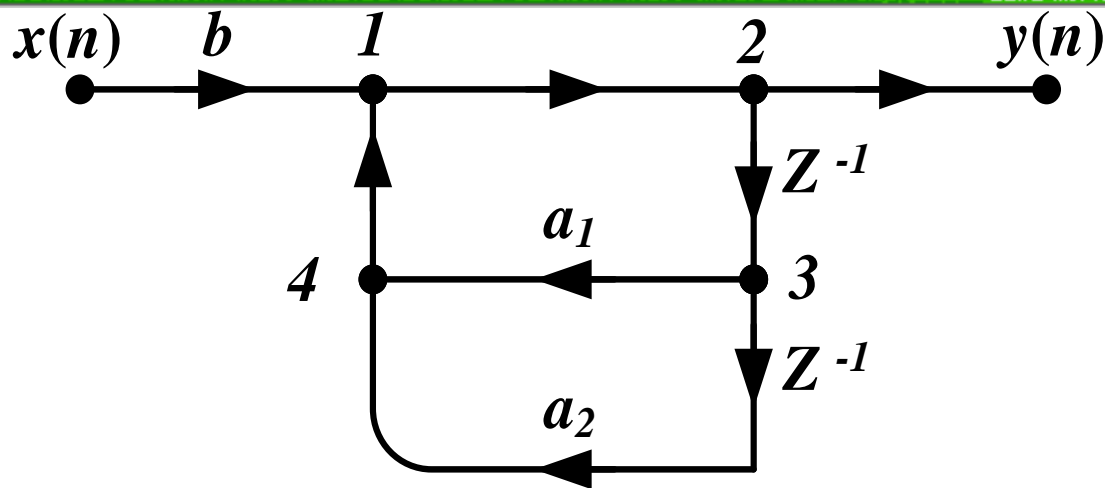
图5.2.1 三种基本运算的流图表示

$$y(n] = a_1 y(n - 1) + a_2 y(n - 2) + b_0 x(n)$$



$$y(n] = a_1 y(n - 1) + a_2 y(n - 2) + b_0 x(n]$$





信号流图由**支路**（有方向）和**节点**组成

支路：用箭头表示信号方向的线段

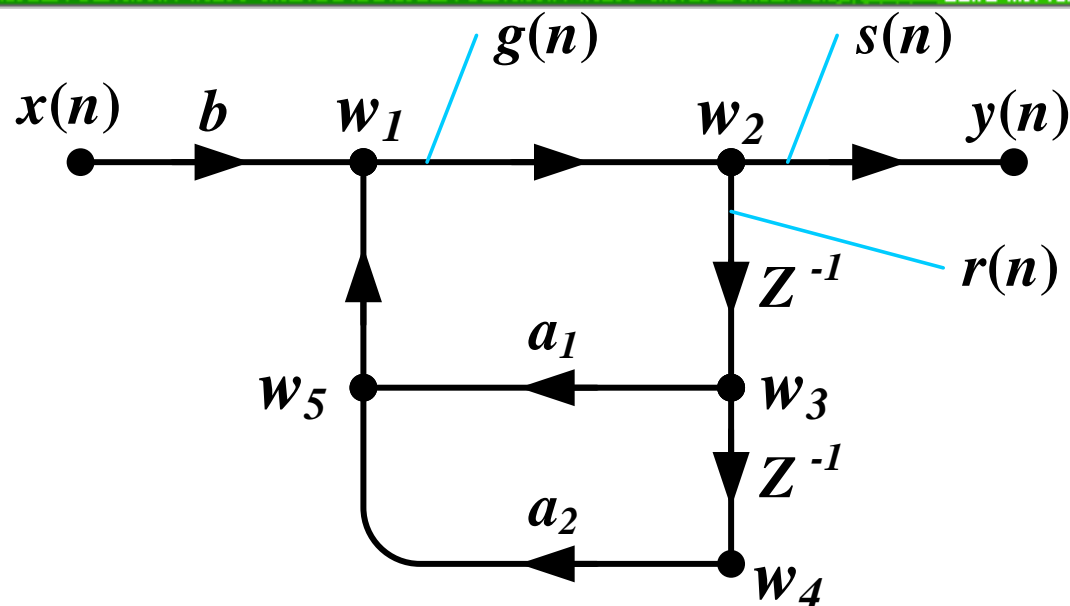
支路增益：常数 a 、延迟算子 Z^{-1}

节点：输入节点（源节点）、输出节点（吸收节点）、

分支节点、汇合节点（相加器）、混合节点

节点变量：节点处的信号，等于**所有输入支路的信号之和**

输入支路的信号：**该支路起点处节点信号值乘以该支路增益**



汇合节点:

$$g(n) = w_1(n) = bx(n) + w_5(n)$$

分支节点:

$$s(n) = r(n) = w_2(n) = g(n)$$

节点可以把所有输入支路的信号叠加，并把总和信号传送到每一个输出支路



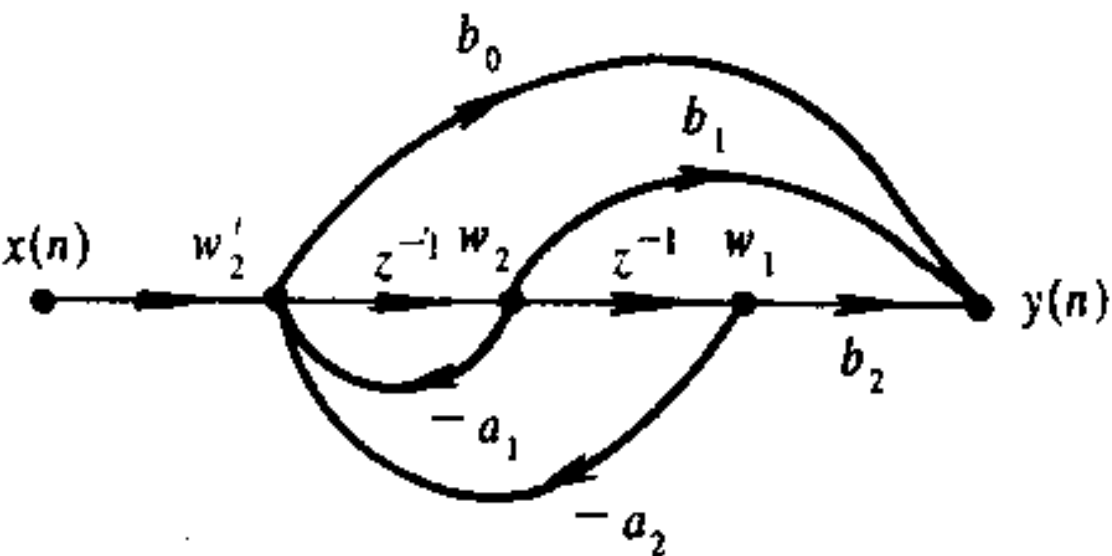
同一个系统函数可以有很多种信号流图相对应。

不同的信号流图代表不同的运算方法（运算结构），因而所需的存储单元及乘法次数不同，实现时的复杂性、运算速度、运算误差、稳定性也不同。

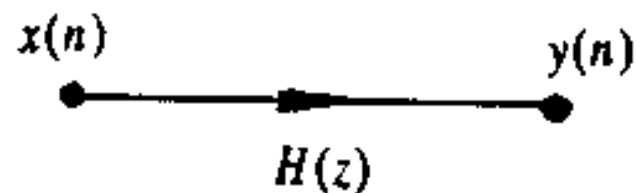
- **基本信号流图**（Primitive Signal Flow Graghs）：
 - （1）信号流图中支路增益是常数或者是 Z^{-1}
 - （2）流图环路中必须存在延迟支路
 - （3）节点和支路的数目是有限的

根据信号流图可以求解网络的系统函数：

方法：列出各个节点变量方程，形成联立方程组，求解出输出与输入之间的 Z 域关系。



(a)



(b)

图5.2.2 信号流图

(a)基本信号流图; (b)非基本信号流图

$$\begin{cases} \omega_1(n) = \omega_2(n-1) \\ \omega_2(n) = \omega'_2(n-1) \\ \omega'_2(n) = x(n) - a_1\omega_2(n) - a_2\omega_1(n) \\ y(n) = b_2\omega_1(n) + b_1\omega_2(n) + b_0\omega'_2(n) \end{cases}$$



例5.2.1 求图5.2.2(a)信号流图决定的系统函数 $H(z)$ 。

解：将5.2.1式进行Z变换，得到：

$$\begin{cases} W_1(z) = W_2(z)z^{-1} \\ W_2(z) = W_2'(z)z^{-1} \\ W_2'(z) = X(z) - a_1W_2(z) - a_2W_1(z) \\ Y(z) = b_2W_1(z) + b_1W_2(z) + b_0W_2'(z) \end{cases}$$

经过联立求解得到：

$$H(z) = \frac{Y(z)}{X(z)} = \frac{b_0 + b_1z^{-1} + b_2z^{-2}}{1 + a_1z^{-1} + a_2z^{-2}}$$

结构复杂时，可利用梅逊公式直接求 $H(z)$



通常网络结构根据单位脉冲响应 $h(n)$ 分为两类:

- ◆ 有限长单位脉冲响应网络 (FIR: Finite Impulse Response)
- ◆ 无限长单位脉冲响应网络 (IIR: Infinite Impulse Response)

FIR网络结构:

其单位脉冲响应 $h(n)$ 有限长: $h(n) = \begin{cases} b_n & 0 \leq n \leq M \\ 0 & \text{其它 } n \end{cases}$

一般不存在输出对输入的反馈支路, 因此差分方程为:

$$y(n) = \sum_{i=0}^M b_i x(n-i)$$

例: $h(n)$ 长度为 N , $y(n) = \sum_{m=0}^{N-1} h(m)x(n-m)$



IIR网络结构:

网络的单位脉冲响应 $h(n)$ 是无限长的。

存在输出对输入的反馈支路，即信号流图中存在环路。

例：一个简单的一阶 IIR 网络差分方程

$$y(n) = ay(n-1) + x(n)$$

其单位脉冲响应 $h(n) = a^n u(n)$

FIR网络与IIR网络各有不同的特点。



第5章 时域离散系统的网络结构

5.1 引言

5.2 用信号流图表示网络结构

5.3 IIR系统基本网络结构

5.4 FIR系统基本网络结构

5.5 线性相位结构

5.6 频率采样结构

5.3 IIR系统基本网络结构

IIR系统的基本网络结构有三种：

直接型、级联型、并联型

1. 直接型

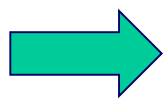
N 阶差分方程：

$$y(n) = \sum_{i=0}^M b_i x(n-i) + \sum_{i=1}^N a_i y(n-i)$$

$$H(z) = \frac{\sum_{i=0}^M b_i z^{-i}}{1 - \sum_{i=1}^N a_i z^{-i}}$$

$$M = N = 2$$

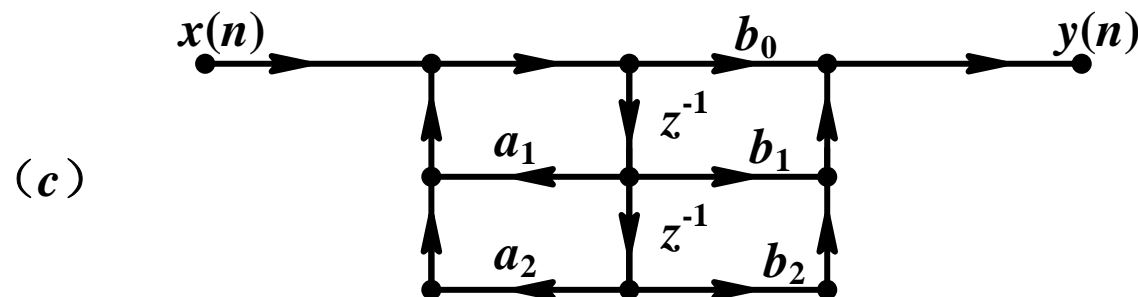
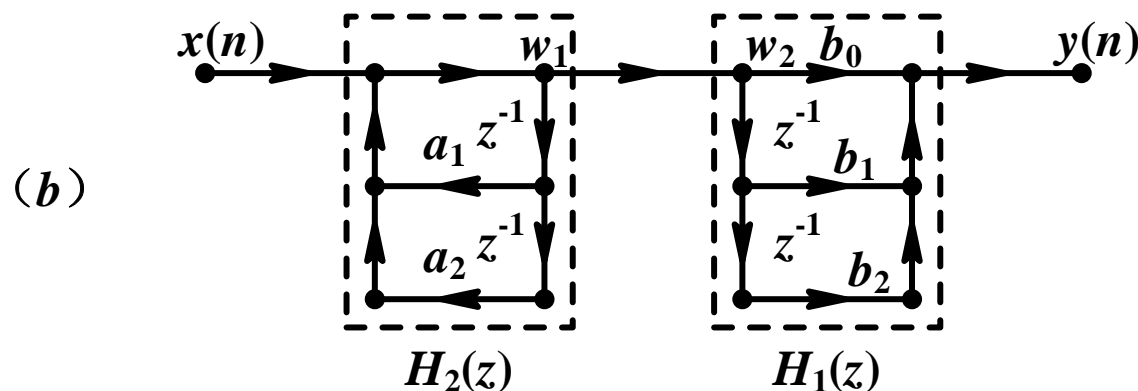
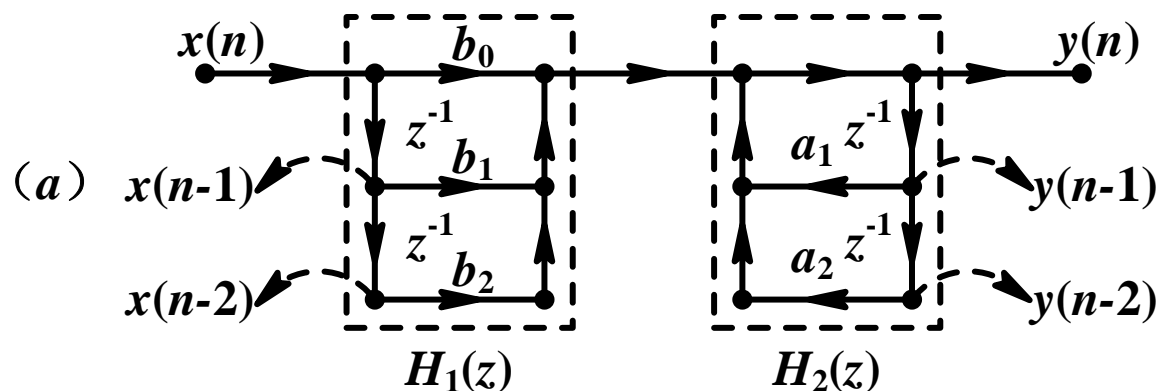
$$y(n) = b_0x(n) + b_1x(n-1) + b_2x(n-2) + a_1y(n-1) + a_2y(n-2)$$



$$H(z) = \frac{b_0 + b_1z^{-1} + b_2z^{-2}}{1 - a_1z^{-1} - a_2z^{-2}}$$

设 $M = N = 2$ ，则按照差分方程可以直接画出网络结构：

$$y(n] = b_0x(n) + b_1x(n-1) + b_2x(n-2) + a_1y(n-1) + a_2y(n-2)$$



$$H(z) = \frac{b_0 + b_1 z^{-1} + b_2 z^{-2}}{1 - a_1 z^{-1} - a_2 z^{-2}}$$

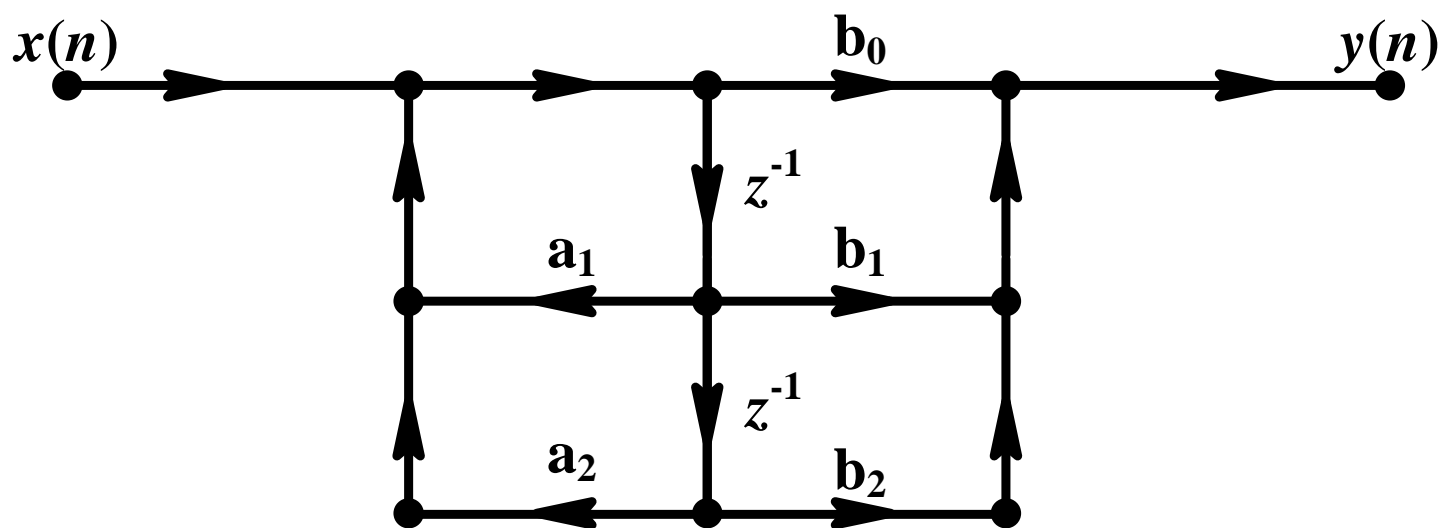


图5.3.1 IIR网络直接型结构

例5.3.1 IIR数字滤波器的系统函数 $H(z)$ 为

$$H(z) = \frac{8 - 4z^{-1} + 11z^{-2} - 2z^{-3}}{1 - \frac{5}{4}z^{-1} + \frac{3}{4}z^{-2} - \frac{1}{8}z^{-3}}$$

画出该滤波器的直接型结构。

解：由 $H(z)$ 写出差分方程如下：

$$\begin{aligned} y(n) = & \frac{5}{4}y(n-1) - \frac{3}{4}y(n-2) + \frac{1}{8}y(n-3) + 8x(n) - 4x(n-1) \\ & + 11x(n-2) - 2x(n-3) \end{aligned}$$

$$H(z) = \frac{8 - 4z^{-1} + 11z^{-2} - 2z^{-3}}{1 - \frac{5}{4}z^{-1} + \frac{3}{4}z^{-2} - \frac{1}{8}z^{-3}}$$

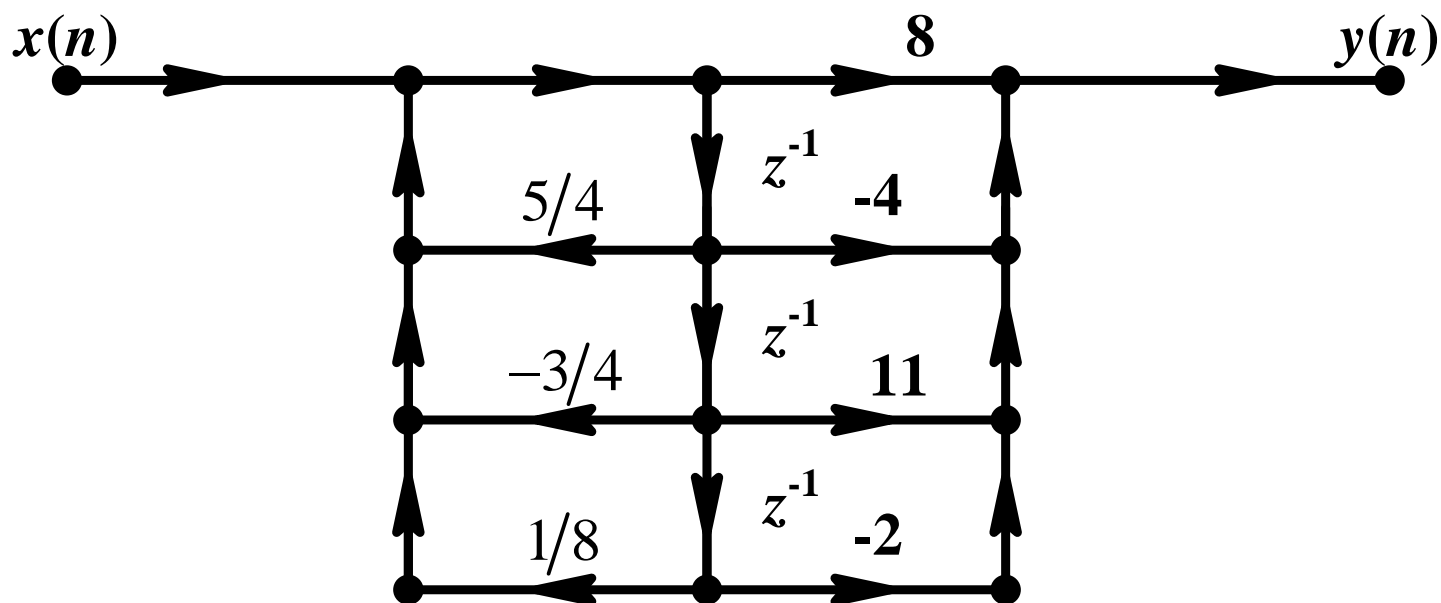
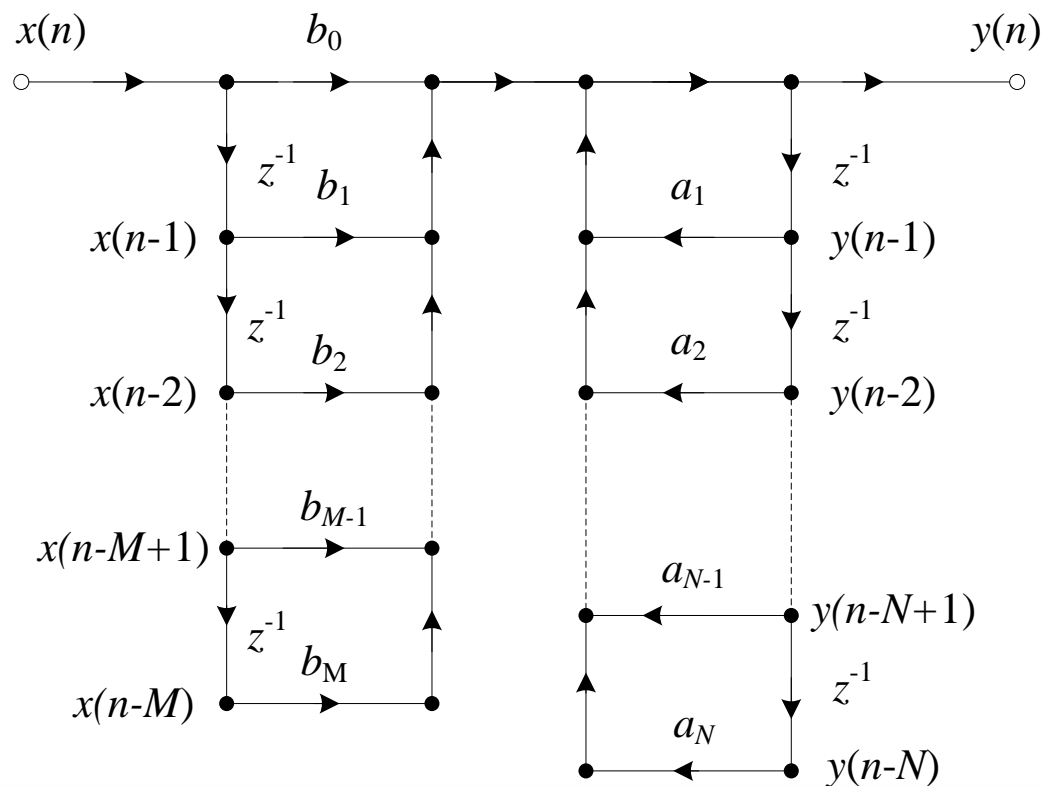


图5.3.2 例5.3.1图

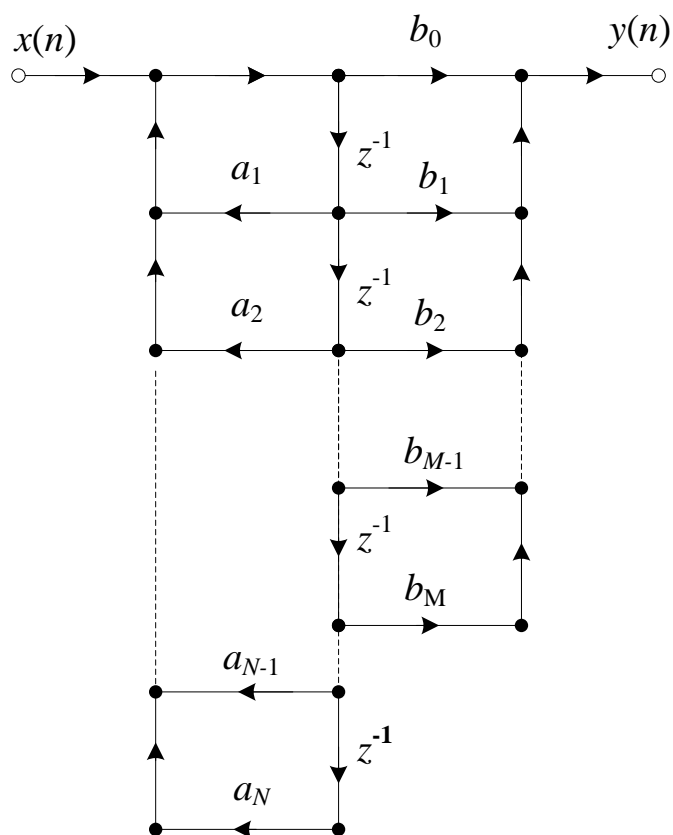
直接I型网络结构的特点：

- 1) 需要 $N+M$ 级延时单元；
- 2) 系数 a_k 、 b_k 对滤波器的性能控制作用不明显，这是因为它们与系统函数的零、极点关系不明显，因而系统频率特性的调整困难；
- 3) 系统频率响应对系数的变化过于灵敏。



直接II型网络结构的特点：

- 1) 只需 N 个延时单元（一般满足 $N \geq M$ ）；
- 2) 系统频率特性的调整困难；
- 3) 系统频率响应对有限字长过于灵敏。



2. 级联型

$$H(z) = \frac{Y(z)}{X(z)} = \frac{\sum_{i=0}^M b_i z^{-i}}{1 + \sum_{i=1}^N a_i z^{-i}}$$

因式分解



$$H(z) = A \frac{\prod_{r=1}^M (1 - c_r z^{-1})}{\prod_{r=1}^N (1 - d_r z^{-1})}$$

A 是常数； c_r 和 d_r 表示 $H(z)$ 的零点和极点。由于多项式的系数是实数， c_r 和 d_r 是实数或者是共轭成对的复数，将共轭成对的零点（极点）放在一起，形成一个二阶多项式，其系数仍为实数；再将分子、分母均为实系数的二阶多项式放在一起，形成一个二阶网络 $H_j(z)$ ：



$$H_j(z) = \frac{\beta_{0j} + \beta_{1j}z^{-1} + \beta_{2j}z^{-2}}{1 - \alpha_{1j}z^{-1} - \alpha_{2j}z^{-2}}$$

β_{0j} 、 β_{1j} 、 β_{2j} 、 α_{1j} 、 α_{2j} 均为实数。

$H(z)$ 就分解成一些一阶或二阶数字网络的级联形式：

$$H(z) = H_1(z)H_2(z)\cdots H_k(z)$$

式中 $H_i(z)$ 表示一个一阶或二阶的数字网络的系统函数，每个 $H_i(z)$ 的网络结构均采用前面介绍的直接型网络结构，如图5.3.3所示。

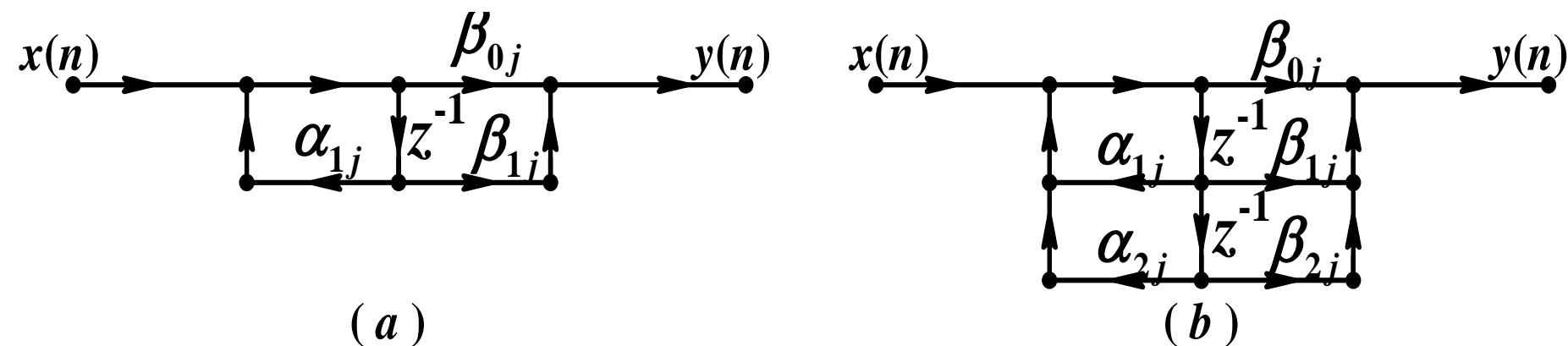


图5.3.3 一阶和二阶直接型网络结构

(a)直接型一阶网络结构；(b)直接型二阶网络结构

例5.3.2 设系统函数 $H(z)$ 如下式:

$$H(z) = \frac{8 - 4z^{-1} + 11z^{-2} - 2z^{-3}}{1 - 1.25z^{-1} + 0.75z^{-2} - 0.125z^{-3}}$$

试画出其级联型网络结构。

解: 将 $H(z)$ 分子分母进行因式分解, 得到

$$H(z) = \frac{(2 - 0.379z^{-1})(4 - 1.24z^{-1} + 5.264z^{-2})}{(1 - 0.25z^{-1})(1 - z^{-1} + 0.5z^{-2})}$$

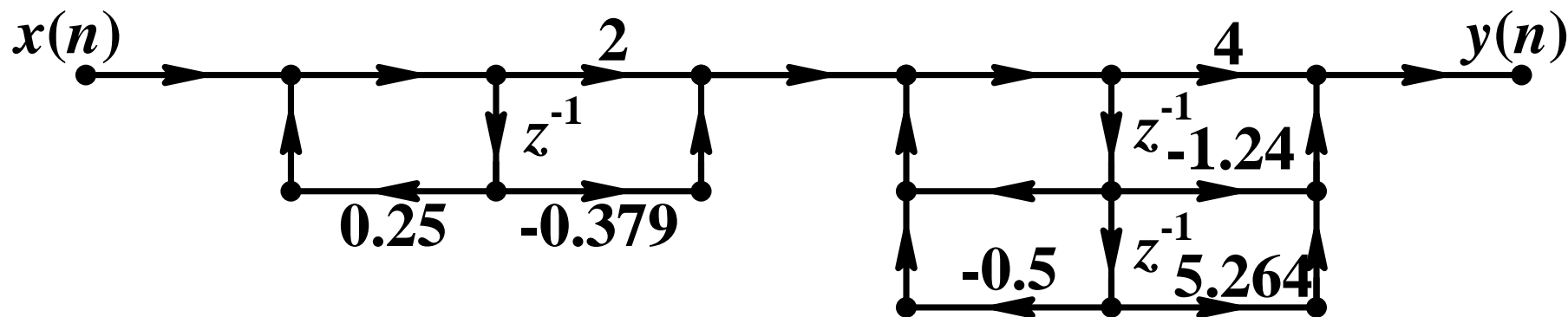


图5.3.4 例5.3.2图



$$H(z) = \frac{(2 - 0.379z^{-1})(4 - 1.24z^{-1} + 5.264z^{-2})}{(1 - 0.25z^{-1})(1 - z^{-1} + 0.5z^{-2})}$$

每一个一阶网络决定一个零点、一个极点；

每一个二阶网络决定一对零点、一对极点。

$$H_j(z) = \frac{\beta_{0j} + \beta_{1j}z^{-1} + \beta_{2j}z^{-2}}{1 - a_{1j}z^{-1} - a_{2j}z^{-2}}$$

调整 β_{0j} 、 β_{1j} 和 β_{2j} 可以改变一对零点的位置，

调整 a_{1j} 和 a_{2j} 可以改变一对极点的位置。

级联型结构的优点：

(1) 调整方便

(2) 级联结构中后面的网络输出不会再流到前面，运算误差的积累相对直接型也小。

3. 并联型

如果将级联形式的 $H(z)$ 展成部分分式形式，得到
IIR 并联型结构。

$$H(z) = H_1(z) + H_2(z) + \cdots + H_k(z)$$

式中， $H_i(z)$ 通常为一阶网络和二阶网络，网络系数均为实数。二阶网络的系统函数一般为

$$H_i(z) = \frac{\beta_{0i} + \beta_{1i}z^{-1}}{1 - a_{1i}z^{-1} - a_{2i}z^{-2}}$$

β_{0i} 、 β_{1i} 、 α_{1i} 、 α_{2i} 都是实数，若 $\beta_{1i} = \alpha_{2i} = 0$ 构成一阶网络
并联型网络输出 $Y(z)$ 为：

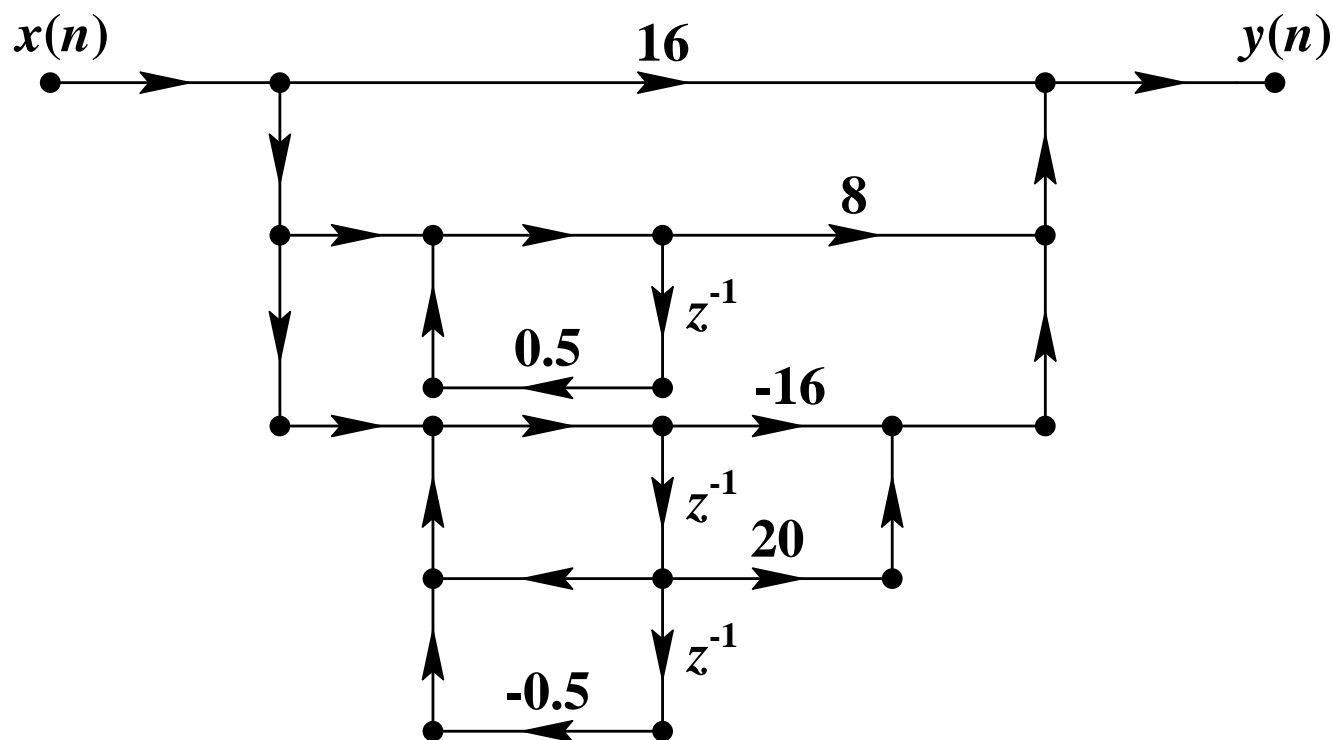
$$Y(z) = H_1(z)X(z) + H_2(z)X(z) + \cdots + H_k(z)X(z)$$

例5.3.3 画出例题5.3.2中的 $H(z)$ 的并联型结构。

解：将例5.3.2中 $H(z)$ 展成部分分式形式：

$$H(z) = 16 + \frac{8}{1 - 0.5z^{-1}} + \frac{-16 + 20z^{-1}}{1 - z^{-1} + 0.5z^{-2}}$$

将每一部分用直接型结构实现，得到并联型网络结构：





$$H(z) = 16 + \frac{8}{1 - 0.5z^{-1}} + \frac{-16 + 20z^{-1}}{1 - z^{-1} + 0.5z^{-2}}$$

每一个一阶网络决定一个实数极点，
每一个二阶网络决定一对共轭极点。

并联型结构的**优点**：

(1) 调整极点位置方便

但调整零点位置不如级联型方便。

(2) 运算误差最小

各个基本网络产生的运算误差互不影响，没有误差积累。

(3) 运算速度最高

由于基本网络并联，可同时对输入信号进行运算。



第5章 时域离散系统的网络结构

5.1 引言

5.2 用信号流图表示网络结构

5.3 IIR系统基本网络结构

5.4 FIR系统基本网络结构

5.5 线性相位结构

5.6 频率采样结构



5.4 FIR系统的基本网络结构

FIR网络结构特点:

- (1) 没有反馈支路，即没有环路
- (2) 单位脉冲响应有限长

设单位脉冲响应 $h(n)$ 长度为 N ,

系统函数 $H(z)$:
$$H(z) = \sum_{n=0}^{N-1} h(n)z^{-n}$$

差分方程:
$$y(n) = \sum_{i=0}^{N-1} b_i x(n-i)$$

$$y(n) = \sum_{m=0}^{N-1} h(m)x(n-m)$$

$$H(z) = \sum_{n=0}^{N-1} h(n)z^{-n}$$

$$y(n) = \sum_{m=0}^{N-1} h(m)x(n-m)$$

1. 直接型

按照总结的IIR网络直接型结构画法画出结构图。

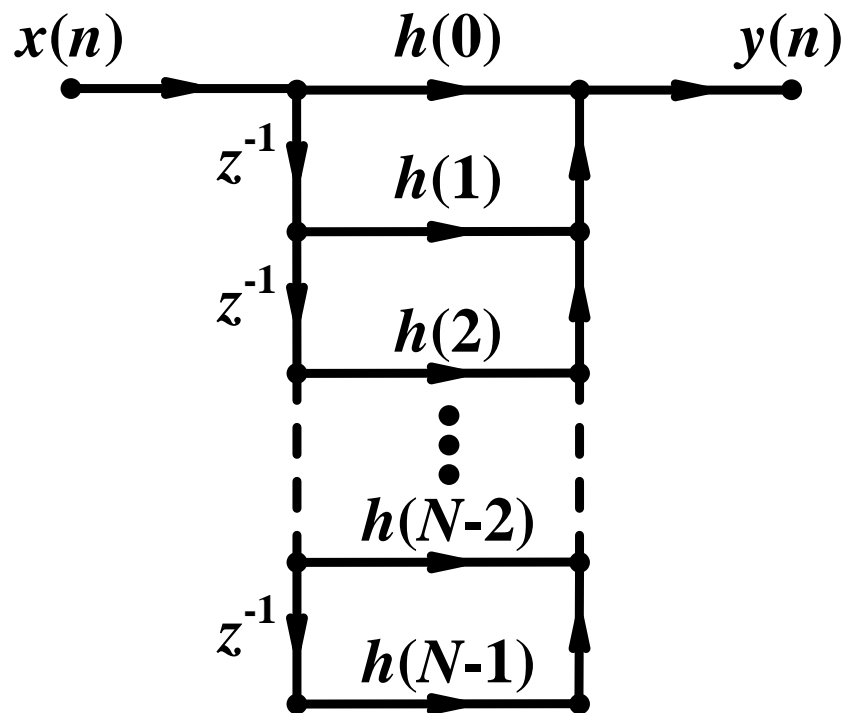


图5.4.1 FIR直接型网络结构

$$H(z) = \sum_{n=0}^{N-1} h(n)z^{-n}$$

$$y(n) = \sum_{m=0}^{N-1} h(m)x(n-m)$$

将上图变形可得另外一种结构图。这种结构称为**直接型**网络结构或者称为**卷积型**结构。

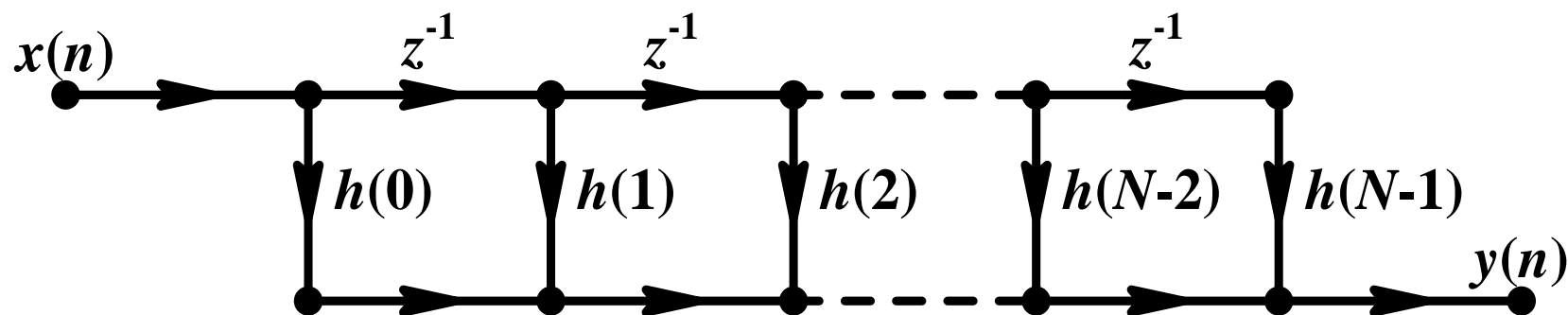


图5.4.1 FIR直接型网络结构

2. 级联型

将 $H(z)$ 进行因式分解，并将共轭成对的零点放在一起，形成一个系数为实数的二阶形式，构成由一阶或二阶因子级联型的结构，其中每一个因式都用直接型实现。

【例5.4.1】 设FIR网络系统函数 $H(z)$ 如下式：

$$H(z) = 0.96 + 2.0z^{-1} + 2.8z^{-2} + 1.5z^{-3}$$

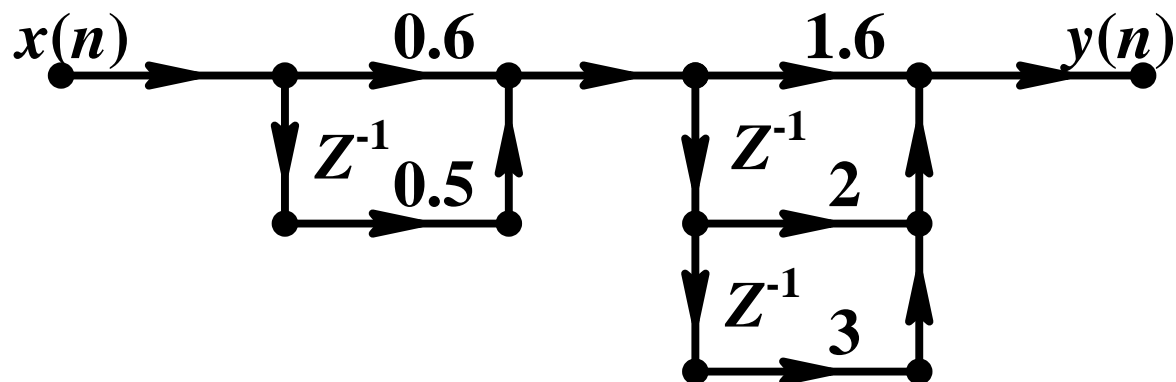
画出 $H(z)$ 的直接型结构和级联型结构。

解：将 $H(z)$ 进行因式分解，得到：

$$H(z) = (0.6 + 0.5z^{-1})(1.6 + 2z^{-1} + 3z^{-2})$$

其级联型结构和直接型结构如图5.4.2。

$$H(z) = (0.6 + 0.5z^{-1})(1.6 + 2z^{-1} + 3z^{-2})$$



$$H(z) = 0.96 + 2.0z^{-1} + 2.8z^{-2} + 1.5z^{-3}$$

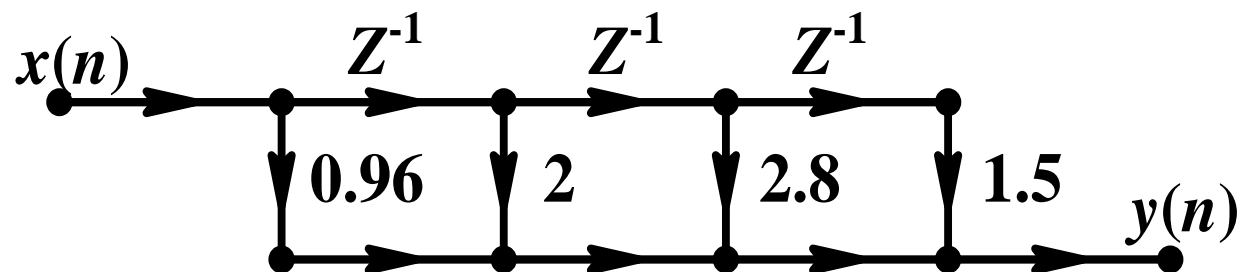


图5.4.2 例5.4.1图



级联型结构

优点：

每一个一阶因子控制一个零点，每一个二阶因子控制一对共轭零点，因此调整零点位置比直接型方便。

缺点：

- (1) $H(z)$ 中的系数比直接型多，需要的乘法器多。分解的因子愈多，需要的乘法器也愈多。
- (2) 当 $H(z)$ 的阶次高时，不易分解。

因此，普遍应用的是直接型。



第5章 时域离散系统的网络结构

5.1 引言

5.2 用信号流图表示网络结构

5.3 IIR系统基本网络结构

5.4 FIR系统基本网络结构

5.5 线性相位结构

5.6 频率采样结构

5.5 FIR系统的线性相位结构

对于长度为 N 的 $h(n)$ ，频率响应函数为：

$$H(e^{j\omega}) = \sum_{n=0}^{N-1} h(n)e^{-j\omega n} = H_g(\omega)e^{j\theta(\omega)}$$

$\theta(\omega)$ ：相位特性

线性相位： $\theta(\omega)$ 是 ω 的线性函数， $\theta(\omega) = -\tau\omega$ ， τ 为常数

线性相位结构是FIR系统直接型结构的简化网络结构，比直接型结构节约了近一半的乘法器。

系统具有线性相位，其单位脉冲响应满足：

$$h(n) = \pm h(N - n - 1)$$

“+”：第一类线性相位滤波器

“-”：第二类线性相位滤波器

$$H(z) = \sum_{n=0}^{N-1} h(n)z^{-n}$$

线性相位网络系统函数满足：

(1) 当 N 为偶数时

$$H(z) = \sum_{n=0}^{N/2-1} h(n)[z^{-n} \pm z^{-(N-n-1)}]$$

(2) 当 N 为奇数时

$$H(z) = \sum_{n=0}^{(\frac{N-1}{2})-1} h(n)[z^{-n} \pm z^{-(N-n-1)}] + h(\frac{N-1}{2})z^{-\frac{N-1}{2}}$$

$$H(z) = \sum_{n=0}^{N/2-1} h(n)[z^{-n} \pm z^{-(N-n-1)}]$$

运算时先进行方括号中的加法（减法）运算，再进行乘法运算，节约了乘法运算。

$$H(z) = \sum_{n=0}^{N-1} h(n)z^{-n}$$

和直接型结构比较：

N 取偶数：直接型需要 N 个乘法器

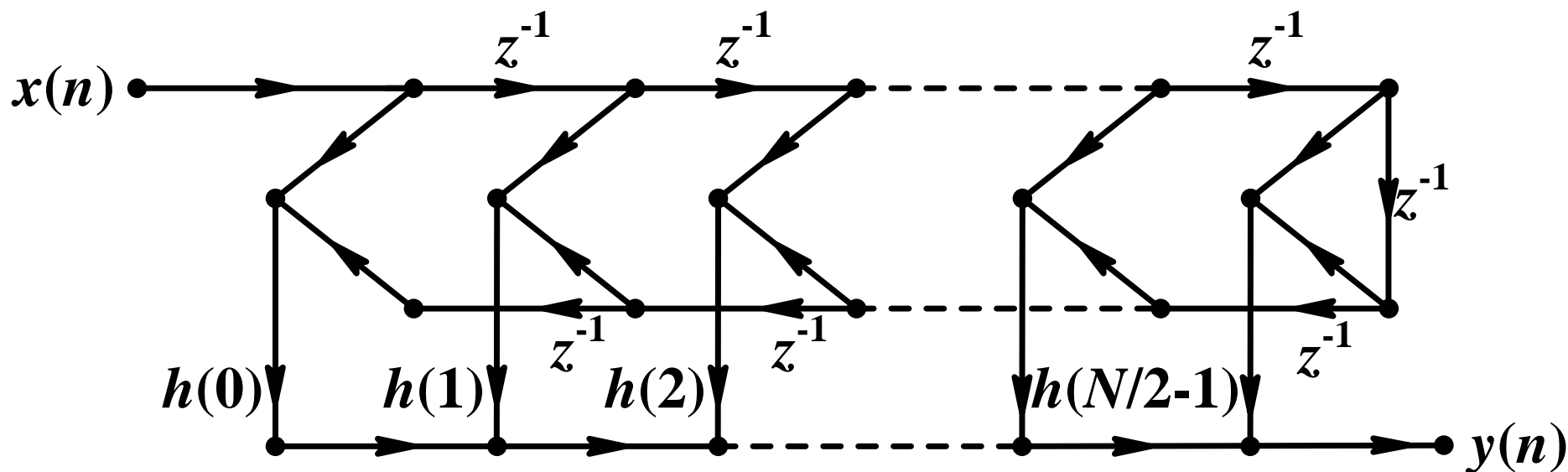
线性相位结构减少到 $N/2$ 个乘法器

N 取奇数：直接型需要 N 个乘法器

线性相位结构减少到 $(N-1)/2+1$ 个乘法器

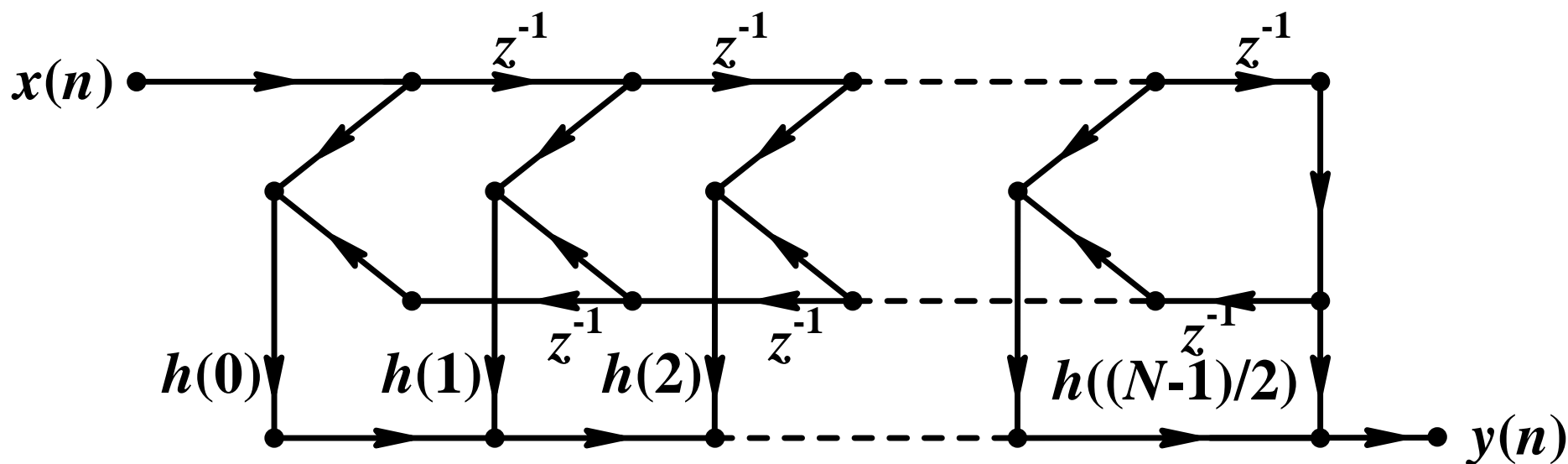
(a) N 为偶数

$$H(z) = \sum_{n=0}^{N/2-1} h(n)[z^{-n} + z^{-(N-n-1)}]$$

图5.5.1 N 为偶数第一类线性相位网络结构流图

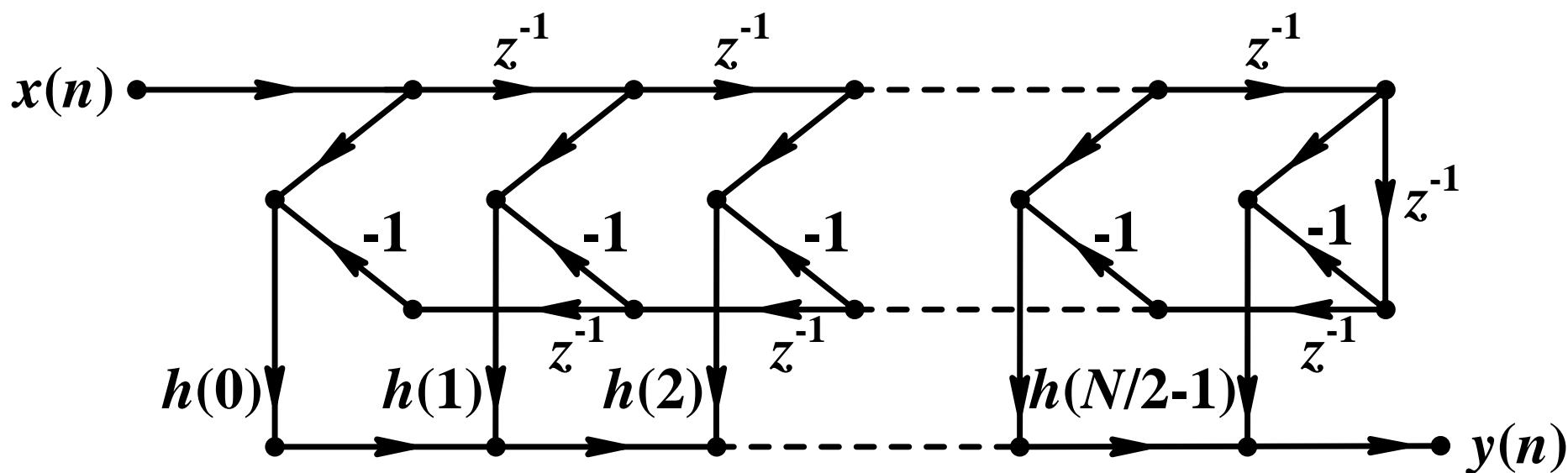
(b) N 为奇数

$$H(z) = \sum_{n=0}^{(\frac{N-1}{2})-1} h(n)[z^{-n} + z^{-(N-n-1)}] + h(\frac{N-1}{2})z^{-\frac{N-1}{2}}$$

图5.5.1 N 为奇数第一类线性相位网络结构流图

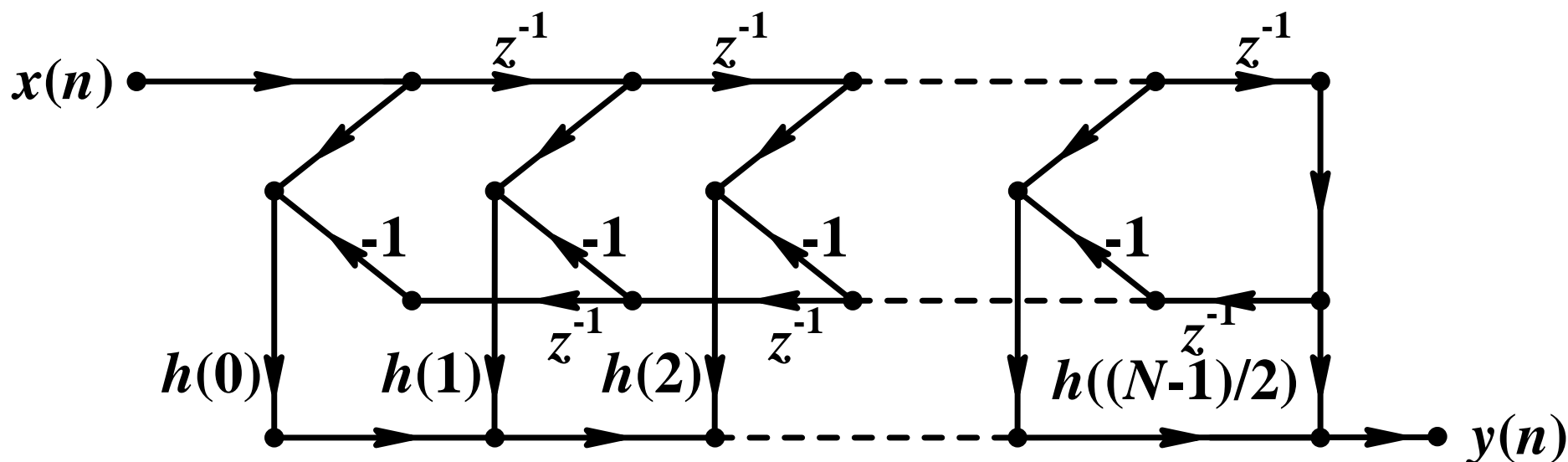
(a) N 为偶数

$$H(z) = \sum_{n=0}^{N/2-1} h(n)[z^{-n} - z^{-(N-n-1)}]$$

图5.5.2 N 为偶数第二类线性相位网络结构流图

(b) N 为奇数

$$H(z) = \sum_{n=0}^{(\frac{N-1}{2})-1} h(n)[z^{-n} - z^{-(N-n-1)}] + h(\frac{N-1}{2})z^{-\frac{N-1}{2}}$$

图5.5.2 N 为奇数第二类线性相位网络结构流图



第5章 时域离散系统的网络结构

5.1 引言

5.2 用信号流图表示网络结构

5.3 IIR系统基本网络结构

5.4 FIR系统基本网络结构

5.5 线性相位结构

5.6 频率采样结构



5.6 FIR系统的频率采样结构

频率域等间隔采样，相应的时域信号会以采样点数为周期进行周期性延拓。如果在频率域采样点数 N 大于等于原序列的长度 M ，则不会引起信号失真。

序列的 Z 变换 $H(z)$ 与频域采样值 $H(k)$ 满足：

$$H(z) = (1 - z^{-N}) \frac{1}{N} \sum_{k=0}^{N-1} \frac{H(k)}{1 - W_N^{-k} z^{-1}}$$

设FIR滤波器单位脉冲响应 $h(n)$ 长度为 M ，系统函数 $H(z)=ZT[h(n)]$ ，则上式中 $H(k)$ 用下式计算：

$$H(k) = H(z) \Big|_{z=e^{j\frac{2\pi}{N}k}} \quad k = 0, 1, 2, \dots, N-1$$

要求： $N \geq M$



$$H(z) = (1 - z^{-N}) \frac{1}{N} \sum_{k=0}^{N-1} \frac{H(k)}{1 - W_N^{-k} z^{-1}}$$

上式提供了一种称为频率采样的网络结构。

由于这种结构是通过频域采样得来的，因此对于IIR系统，存在时域混叠的问题，不适合IIR系统，只适合FIR系统。但这种网络结构中又存在反馈网络，不同于其它的FIR网络结构。

$$H(z) = (1 - z^{-N}) \frac{1}{N} \sum_{k=0}^{N-1} \frac{H(k)}{1 - W_N^{-k} z^{-1}}$$

将上式写成：

$$H(z) = \frac{1}{N} H_c(z) \sum_{k=0}^{N-1} H_k(z)$$

$$H_c(z) = 1 - z^{-N}$$

$$H_k(z) = \frac{H(k)}{1 - W_N^{-k} z^{-1}}$$

$H_c(z)$ ：梳状滤波器，

$H_k(z)$ ：IIR的一阶网络。

$H(z)$ ：由梳状滤波器 $H_c(z)$ 和 N 个一阶网络 $H_k(z)$ 的并联结构进行级联而成，其网络结构如下图所示。

$$H(z) = (1 - z^{-N}) \frac{1}{N} \sum_{k=0}^{N-1} \frac{H(k)}{1 - W_N^{-k} z^{-1}}$$

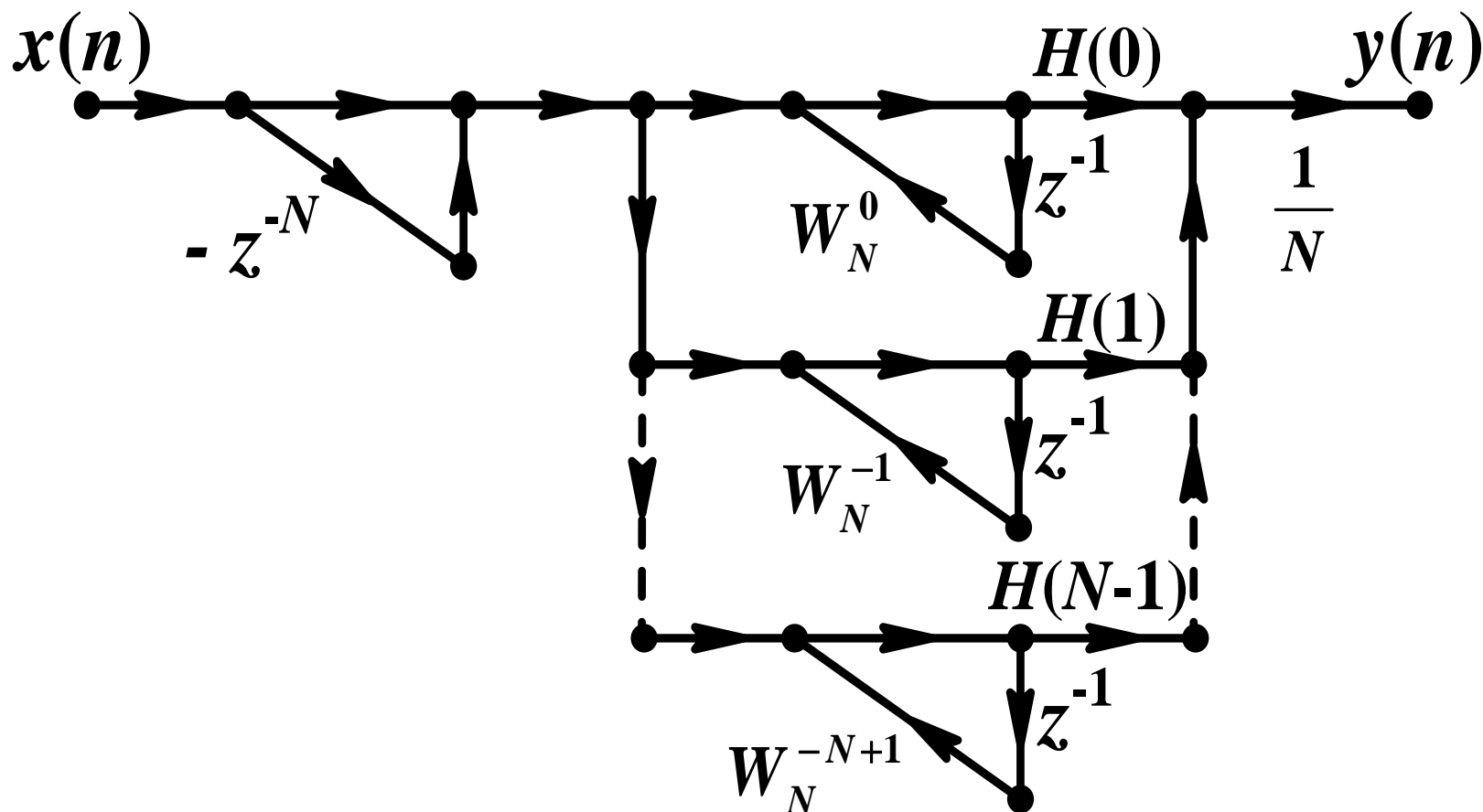


图5.6.1 FIR滤波器频率采样结构

$$H_k(z) = \frac{H(k)}{1 - W_N^{-k} z^{-1}} \quad H_c(z) = 1 - z^{-N}$$

该网络结构中有由 $H_k(z)$ 产生的反馈支路，其极点为：

$$z_k = e^{j\frac{2\pi}{N}k} \quad k = 0, 1, 2, \dots, N-1$$

它们是单位圆上等间隔分布的 N 个极点。

$H_c(z)$ 是一个梳状滤波网络，其零点为：

$$z_k = e^{j\frac{2\pi}{N}k} \quad k = 0, 1, 2, \dots, N-1$$

$H(z)$ 零点和极点相同，相互抵消，保证了网络的稳定性，使频率域采样结构仍属FIR网络结构。

$$H(z) = (1 - z^{-N}) \frac{1}{N} \sum_{k=0}^{N-1} \frac{H(k)}{1 - W_N^{-k} z^{-1}}$$

频率域采样结构的优点：

(1) 在频率采样点 ω_k 处， $H(e^{j\omega_k}) = H(k)$ ，只要调整 $H(k)$ （即一阶网络 $H_k(z)$ 中乘法器的系数 $H(k)$ ），就可以有效调整频响特性，实践中调整方便，可实现任意形状的频响曲线。

(2) 只要 $h(n)$ 长度 N 相同，对于任何频响形状，其梳状滤波器部分和 N 个一阶网络部分结构完全相同，只是各支路增益 $H(k)$ 不同。相同部分可以标准化、模块化。各支路增益可做成可编程单元，生产可编程FIR滤波器。



频率采样结构的缺点：

(1) 系统稳定是靠位于单位圆上的 N 个零极点相互对消保证的。实际上，因为寄存器字长都是有限的，对网络中支路增益 W_N^{-k} 量化时产生量化误差，可能使零极点不能完全对消，从而影响系统稳定性。

(2) 结构中， $H(k)$ 和 W_N^{-k} 一般为复数，要求乘法器完成复数乘法运算，硬件实现不方便。



为克服上述缺点，对频率采样结构作以下修正：

首先将单位圆上的零极点向单位圆内收缩一点，收缩到半径为 r 的圆上，取 $r < 1$ 且 $r \approx 1$ 。此时 $H(z)$ 为

$$H(z) = (1 - r^N z^{-N}) \frac{1}{N} \sum_{k=0}^{N-1} \frac{H_r(k)}{1 - r W_N^{-k} z^{-1}}$$

$H_r(k)$ ：在 r 圆上对 $H(z)$ 的 N 点等间隔采样值。由于 $r \approx 1$ ，因此可近似取 $H_r(k) \approx H(k)$ 。

此时，零极点均为 $r e^{j\frac{2\pi}{N}k}$, $k = 0, 1, 2, \dots, N-1$

如果由于实际量化误差，零极点不能抵消时，极点位置仍处在单位圆内，保持系统稳定。



由DFT的共轭对称性知道，如果 $h(n)$ 是实数序列，则其离散傅里叶变换 $H(k)$ 关于 $N/2$ 点共轭对称，即 $H(k)=H^*(N-k)$ 。而且 $W_N^{-k} = W_N^{N-k}$ ，我们将 $H_k(z)$ 和 $H_{N-k}(z)$ 合并为一个二阶网络，并记为 $H_k(z)$ ，则

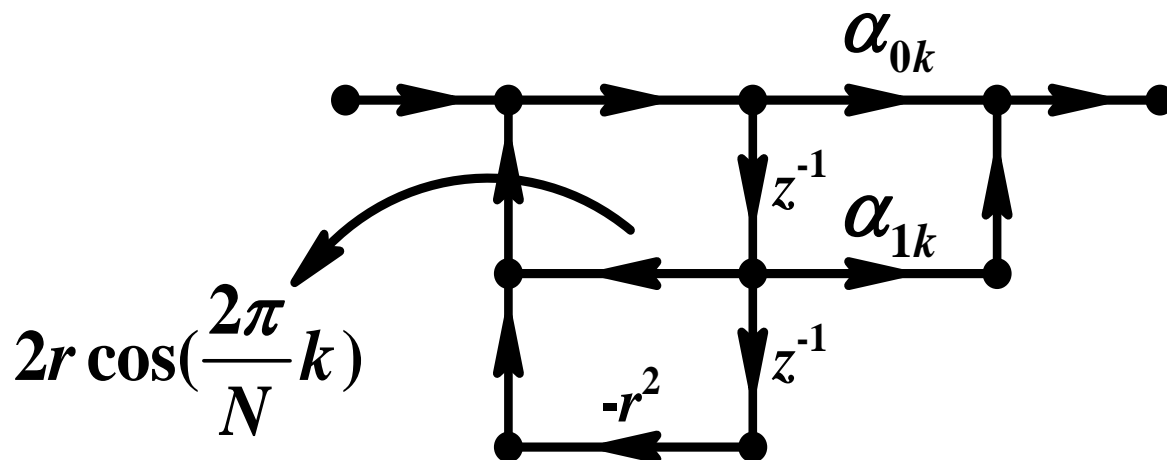
$$\begin{aligned} H_k(z) &= \frac{H(k)}{1 - rW_N^{-k}z^{-1}} + \frac{H(N-k)}{1 - rW_N^{-(N-k)}z^{-1}} \\ &= \frac{H(k)}{1 - rW_N^{-k}z^{-1}} + \frac{H^*(k)}{1 - r(W_N^{-k})^*z^{-1}} \\ &= \frac{a_{0k} + a_{1k}z^{-1}}{1 - 2r \cos\left(\frac{2\pi}{N}k\right)z^{-1} + r^2z^{-2}} \end{aligned}$$

$$H_k(z) = \frac{a_{0k} + a_{1k}z^{-1}}{1 - 2r \cos\left(\frac{2\pi}{N}k\right)z^{-1} + r^2z^{-2}}$$

式中

$$\left. \begin{aligned} a_{0k} &= 2\operatorname{Re}[H(k)] \\ a_{1k} &= -2\operatorname{Re}[rH(k)W_N^k] \end{aligned} \right\} \quad k = 1, 2, 3, \dots, \frac{N}{2} - 1$$

二阶网络 $H_k(z)$ 的系数都为实数，其结构如下



$$H(z) = (1 - r^N z^{-N}) \frac{1}{N} \sum_{k=0}^{N-1} \frac{H_r(k)}{1 - r W_N^{-k} z^{-1}}$$

当N为偶数时，考虑DFT的共轭对称性， $H(z)$ 可表示为：

$$H(z) = (1 - r^N z^{-N}) \frac{1}{N} \left[\frac{H(0)}{1 - rz^{-1}} + \frac{H\left(\frac{N}{2}\right)}{1 + rz^{-1}} + \sum_{k=1}^{\frac{N}{2}-1} \frac{a_{0k} + a_{1k} z^{-1}}{1 - 2 \cos\left(\frac{2\pi}{N} k\right) z^{-1} + r^2 z^{-2}} \right]$$

式中， $H(0)$ 和 $H(N/2)$ 为实数。对应的频率采样修正结构由 $\frac{N}{2} - 1$ 个二阶网络和两个一阶网络并联构成，如图5.6.2。

$$H(z) = (1 - r^N z^{-N}) \frac{1}{N} \left[\frac{H(0)}{1 - rz^{-1}} + \frac{H\left(\frac{N}{2}\right)}{1 + rz^{-1}} + \sum_{k=1}^{\frac{N}{2}-1} \frac{a_{0k} + a_{1k} z^{-1}}{1 - 2\cos\left(\frac{2\pi}{N}k\right)z^{-1} + r^2 z^{-2}} \right]$$

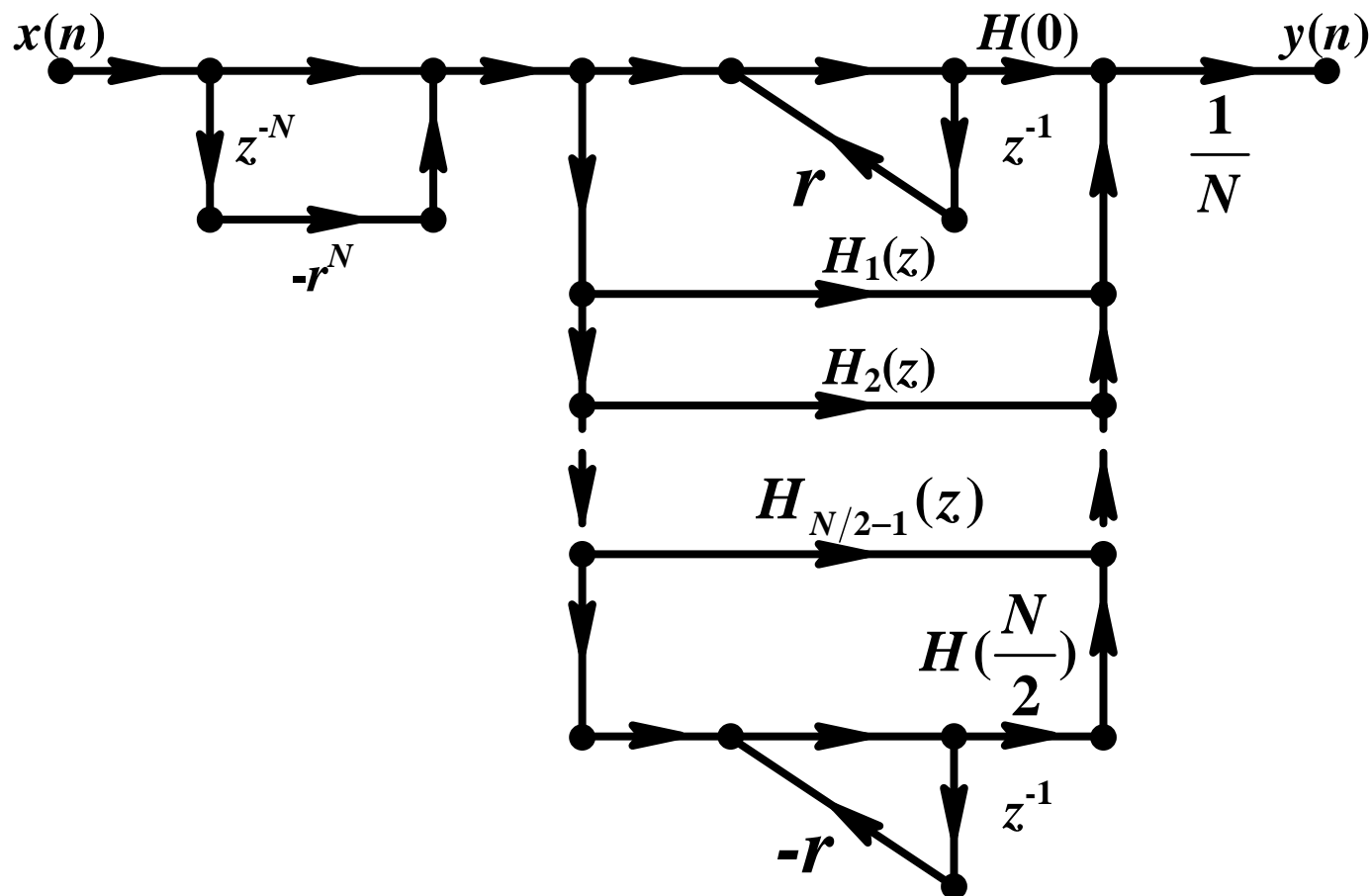


图5.6.2 频率采样修正结构

当 N =奇数时，只有一个采样值 $H(0)$ 为实数， $H(z)$ 为：

$$H(z) = (1 - r^N z^{-N}) \frac{1}{N} \left[\frac{H(0)}{1 - rz^{-1}} + \sum_{k=1}^{(N-1)/2} \frac{a_{0k} + a_{1k} z^{-1}}{1 - 2 \cos\left(\frac{2\pi}{N} k\right) z^{-1} + r^2 z^{-2}} \right]$$

N 等于奇数的修正结构

由一个一阶网络和 $\frac{N-1}{2}$ 个二阶网络结构构成。

由图5.6.2，当采样点数 N 很大时，其结构很复杂，需要的乘法器和延时单元很多。但对于窄带滤波器，大部分频率采样值 $H(k)$ 为零，从而使二阶网络个数大大减少。所以频率采样结构适用于窄带滤波器。

问题1:

$$y(n) = ab + (a+b)x(n-1) + x(n-2) + (a+b)y(n-1) - ab y(n-2)$$
$$|a| < 1, |b| < 1$$

试画出该滤波器的直接型和级联型结构

问题2:

$$H(z) = 10 + 3z^{-1} + 21z^{-2} + 3z^{-3} + 10z^{-4}$$

试画出该滤波器的直接型和线性相位结构

作业

提交作业：1、4、6、8、10、11、14、15、18。

